

ترریسی الیاف آمیخته فیبروئین ابریشم و پلیآمید ۶

Wet Spun Blend Fibers of Silk Fibroin and Polyamide 6

آرزو محمودانی، مهدی نوری*

رشت، دانشگاه گیلان، دانشکده فنی، گروه مهندسی نساجی، صندوق پستی ۳۷۵۶

دریافت: ۸۴/۱۰/۲، پذیرش: ۸۵/۲/۱۲

چکیده

در این پژوهش، محلول قابل ریسنگی از آمیخته فیبروئین ابریشم بازیابی شده و پلیآمید ۶ در فرمیک اسید تهیه شده است. خواص مکانیکی فیلم و الیاف تهیه شده از آمیخته این دو پلیمر در نسبتهای مختلف اختلاط مطالعه شده است. نتایج نشان می‌دهد که با افزایش مقدار فیبروئین در آمیخته، استحکام و ازدیاد طول تا پارگی الیاف تهیه شده کاهش می‌یابد. اما، می‌توان الیاف با خواص نسبتاً مناسبی تا ۳۰ درصد فیبروئین در آمیخته با پلیآمید ۶ تهیه کرد. تصاویر حاصل از میکروسکوپی الکترون‌پویشی الیاف تهیه شده، سطح مقطع نزدیک به دایره را برای این الیاف نشان می‌دهد. ساختار فیبروئین ابریشم در آمیخته به وسیله طیف‌سنجی FTIR بررسی شده است.

واژه‌های کلیدی

فیبروئین، پلیآمید ۶،
ترریسی، الیاف
طیف‌سنجی

مقدمه

در پژوهشی، امروزه فیبروئین و سریسین ابریشم به دلیل خواص زیست سازگاری، نفوذ پذیری خوب اکسیژن و بخار آب و قابل تجزیه بودن در طبیعت به عنوان ترکیبی مناسب برای محیط‌زیست مورد توجه قرار گرفته‌اند [۱، ۲]. ابریشم بدست آمده از کرم ابریشم پروتئینی طبیعی شامل

الیاف طبیعی شامل پشم، پنبه و ابریشم به عنوان الیاف سازگار با محیط زیست شناخته شده‌اند. در این میان ابریشم به عنوان یکی از اولین مواد مورد استفاده در کاربردهای پزشکی شناخته شده است. علاوه بر کاربردهای ابریشم در صنایع نساجی و استفاده از آن به عنوان نخ بخیه

Key Words

fibroin, polyamide 6,
wet spinning, fibers
FTIR spectrometry

مطالعه شده است. تصور بر این است که وارد کردن فیبروئین به داخل ساختار الیاف پلی آمید به تهیه الیاف با کارایی بهتر کمک می کند.

تجربی

مواد

در این پژوهش، از چیپس پلی آمید^۶ محصول شرکت الیاف، نخ ابریشم محصول شرکت ابریشم گیلان تهیه شده از ابریشم هیرید ۲، فرمیک اسید، کلسیم کلرید، اتانول و سدیم هیدروکسید نوع آزمایشگاهی استفاده شد.

دستگاهها

در این پژوهش، ضخامت سنج رقمی مدل MO۳۴A، میکروسکوپ نوری Nikon مدل FXA ساخت ژاپن، استحکام سنج Shirley طیف سنج FTIR مدل Magna۵۶۰ و میکروسکوپ الکترونی Philips مدل XLC بکار گرفته شد.

روشها

برای صمغ گیری از نخهای ابریشمی و جداسازی سریسین از سطح الیاف ابریشم، مقدار ۱۰ g از نخهای ابریشم نگهداری شده داخل خشکانه دارای سلیکاژل در ۴۰۰ mL محلول ۲g/L سدیم کربنات قرار گرفته و صمغ گیری در دمای جوش (۹۶°C) به مدت ۳۰ min انجام شده است. طی این مدت ضمن همزدن محلول و نخها برای ثابت نگهداشتن غلظت، آب گرم به محلول صمغ گیری اضافه شد. در انتها نخهای صمغ گیری شده خارج و پس از شستشو با آب فراوان در دمای ۵۰°C خشک شدند، سپس داخل خشکانه دارای سلیکاژل قرار گرفتند. پس از ۲۴ h نخهای صمغ گیری شده توزین و مقدار صمغ جدا شده از نخها به این روش ۲۱ درصد محاسبه شد.

تهیه محلول ابریشم

نخهای ابریشم صمغ گیری شده به وسیله محلول آب - اتانول - کلسیم کلرید با نسبت مولی ۱:۲:۸ در دمای ۵°C حل شدند تا محلول ۶ درصد (w/w) ابریشم بدست آید. محلول بدست آمده در کیسه دیالیز (Mwco = ۲۵۰۰۰) قرار گرفته، عمل دیالیز به مدت ۲۴ h در ۱۰۰ mL آب مقطر انجام شد. به کمک دیالیز ناخالصیهای موجود مثل اتانول، یونهای کلسیم و زنجیرهای فیبروئین با وزن مولکولی کم از محلول تهیه شده از ابریشم جدا شد. محلول ابریشم دیالیز شده در دمای ۵۰°C به مدت ۲۴ h خشک

پروتئینهای فیبروئین و سریسین است [۳]. فیبروئین ابریشم به عنوان عضوی از گروه پلی آمیدها (مشابه پلی آمید ۲) زیست پلیمری مهم با ساختار خطی است که اسید آمینه های اصلی تشکیل دهنده آن گلیسین، آلانین و سرین هستند [۳]. الیاف ابریشم طبیعی به دلیل ساختار صفحه ای β در زنجیرهای پروتئینی از محکمترین الیاف طبیعی به شمار می رود. اما، فیلم حاصل از فیبروئین ابریشم که در آن زنجیرهای پروتئینی به شکل حلقه ای هستند حالت شکننده دارد [۴]. آمیختن فیبروئین بازیابی شده با دیگر پلیمرها مثل کیتوسان و سلولوز برای غلبه بر این مشکل بررسی شده است، الیاف آمیخته فیبروئین ابریشم - کیتین [۵]، فیبروئین ابریشم - کیتوسان [۶] و فیبروئین ابریشم - سلولوز [۸] به عنوان زیست الیاف تهیه و مطالعه شده اند. تهیه الیاف از فیبروئین بازیابی شده ابریشم به روش تر ریسی نیز به دلیل کاربردهای آن در زیست فناوری موردن توجه قرار گرفته، اثر شرایط انعقاد بر خواص الیاف تهیه شده ارزیابی شده است [۹].

پس از تهیه پلی آمید در دهه ۴۰ میلادی، الیاف پلی آمید به عنوان یکی از مهمترین الیاف مصنوعی در صنایع نساجی مورد توجه بوده است. این توجه به دلیل سادگی تهیه پلی آمید و خواص مکانیکی مطلوب الیاف آن بوده است. اما، با وجود استقبال فراوان از الیاف پلی آمید، این الیاف مانند دیگر الیاف مصنوعی دارای ضعفهایی از جمله کم بودن جذب رطوبت، عدم سازگاری با محیط زیست و بدن و نگهداری الکتریسیته ساکن هستند. تلاشهای گسترده ای برای بهبود خواص نامطلوب الیاف مصنوعی انجام شده است. خصوصیات عملکردی برخی از الیاف مصنوعی با پوشش دهی آنها با پلیمرهای طبیعی مثل کیتوسان و سریسین بهبود می یابد. در این راستا الیاف پلی استر بهبود یافته به وسیله سریسین ابریشم به منظور افزایش خواص آبدوستی الیاف پلی استر مورد توجه قرار گرفته است [۱۰]. اگر چه الیاف پلی آمید به روش مذاب ریسی تهییه می شوند. اما، در پژوهشی تهیه الیاف پلی آمید^۶ به روش تر ریسی گزارش شده است [۱۱].

خواص فیلم حاصل از آمیخته پلی آمید^۶ و فیبروئین ابریشم به تازگی بررسی شده است [۱۲]. نتایج این بررسی نشان می دهد که از آمیخته فیبروئین و پلی آمید^۶ در فرمیک اسید می توان فیلمی با خواص مناسبی تهییه کرد، به دلیل برهمکنش قوی زنجیرهای پلیمری پلی آمید و فیبروئین ابریشم اختلاط دو پلیمر در نسبتهاهی مناسب امکان پذیر است. نتایج نشان می دهد که در درصد های کم فیبروئین ابریشم در آمیخته با پلی آمید^۶ امکان تبلور همزمان زنجیرهای پروتئینی فیبروئین ابریشم با زنجیرهای پلیمری پلی آمید^۶ وجود دارد.

در این پژوهش، تهیه الیاف از آمیخته پلی آمید^۶ و فیبروئین بازیابی شده ابریشم به روش تر ریسی و برخی خواص الیاف بدست آمده

فرض شد) و R شعاع لیف است. قطر تعیین شده میانگین ۲۰ اندازه گیری از نقاط مختلف الیاف است، میانگین ۱۰ اندازه گیری برای استحکام الیاف گزارش شد. استحکام فیلمها پس از تهیه نمونه‌هایی با ابعاد $2 \times 20 \times 5$ از فیلمهایی با قطر مشخص، به کمک استحکام سنج با فاصله فکهای 10 mm معین شد و میانگین ۳ اندازه گیری گزارش شد. طیفهای FTIR با استفاده از قرص KBr بدست آمد.

نتایج و بحث

شکل ۱ ویژگی ظاهری فیلمهای تهیه شده از آمیخته $10:90$ پلی آمید ۶-فیبروفین را که به وسیله استون، متانول، محلول سدیم هیدروکسید 10 درصد و آب منعقد شده‌اند، نشان می‌دهد. همان طور که در شکل نشان داده شده است استون و متانول به دلیل سرعت نفوذ زیاد منعقد‌کننده‌های مناسبی برای آمیخته پلی آمید ۶ و فیبروفین نیستند. از این‌رو، فیلم تهیه شده با این منعقد‌کننده‌ها بسیار ترد و شکننده و فاقد استحکام و خواص فیزیکی مطلوب است، پس از خشک شدن به شکل پودر در می‌آید و انعطاف پذیری لازم را نخواهد داشت. محلول سدیم هیدروکسید 10 درصد منعقد کننده متوسطی است و فیلم تهیه شده از آن خواص مکانیکی مناسبی دارد. اما، خواص مکانیکی این فیلمها ضعیفتر از خواص مکانیکی فیلمهای تهیه شده با منعقد‌کننده آب است. بررسی شکل ظاهری فیلم تهیه شده در اثر انعقاد با محلول سدیم هیدروکسید 10 درصد (شکل ۱ (الف)) نشان دهنده وجود منافذ و حفره‌هایی در سطح فیلم تهیه شده است که در نهایت باعث کاهش استحکام فیلم تهیه شده می‌شود.

آب مناسبترین منعقد‌کننده برای آمیخته پلی آمید ۶ و فیبروفین ابریشم است. فیلمهای تهیه شده پس از انعقاد با آب کمترین ضخامت و بیشترین استحکام، یکنواختی و صافی سطح را دارند و تقریباً هیچ حفره‌ای روی فیلمهای منعقد شده با آب مشاهده نشد.

در جدول ۱ ضخامت فیلمهای تهیه شده از نسبتهای مختلف پلی آمید ۶ و فیبروفین ابریشم پس از انعقاد با آب و محلول سدیم هیدروکسید 10 درصد درج شده است. شکلهای ۲ و ۳ نیز مقادیر استحکام و ازدیاد طول تا پارگی فیلمهای تهیه شده را نشان می‌دهد. نتایج جدول ۱ و شکلهای ۲ و ۳ نشان می‌دهد که فیلمهای تهیه شده به وسیله منعقد‌کننده آب ضخامت کمتر، استحکام و ازدیاد طول بیشتری نسبت به فیلمهای تهیه شده با محلول سدیم هیدروکسید دارند. این استحکام بیشتر اگر چه ممکن است به دلیل تفاوت در ساختار داخلی فیلمهای تهیه شده و نحوه

شد. در نهایت محلول 10 درصد (w/w) فیبروفین ابریشم در اسید فرمیک در دمای محیط تهیه شد.

تهیه محلول پلی آمید ۶ و آمیخته پلی آمید ۶ با فیبروفین چیپسهای پلی آمید ۶ در دمای 60°C در فرمیک اسید غلیظ حل شدند تا محلول 20 درصد (w/w) پلی آمید در اسید فرمیک بدست آید. با افزودن محلول 10 درصد فیبروفین در فرمیک اسید به محلول پلی آمید تهیه شده با نسبتهای متفاوت، آمیخته‌هایی با نسبتهای فیبروفین - پلی آمید برابر $100:0$ ، $95:5$ ، $90:10$ ، $85:15$ و $70:30$ تهیه شد. آمیخته‌های تهیه شده کاملاً یکنواخت و پس از 1 h برای تهیه الیاف آماده بودند.

تهیه فیلم و الیاف

برای تهیه فیلم از آمیخته‌های تهیه شده، مقدار 2 g از آمیخته پلی آمید - فیبروفین با درصد اختلاط مشخص داخل ظرف شیشه‌ای مسطح به طور کامل پخش شد. سپس، بازیابی فیلم با افزایش تدریجی آب قطر، محلول سدیم هیدروکسید 10 درصد، استون یا متانول به داخل ظرف انجام شد. پس از اطمینان از بازیابی کامل ($\text{زمان حدود } 1\text{ h}$) مایع منعقد کننده خارج و فیلم تهیه شده در دمای 50°C خشک شد. پس از بازیابی فیلم با محلول سدیم هیدروکسید برای جلوگیری از آسیب دیدن فیبروفین به وسیله سدیم هیدروکسید در مرحله خشک شدن، فیلم تهیه شده با آب قطر شسته و سپس خشک شد.

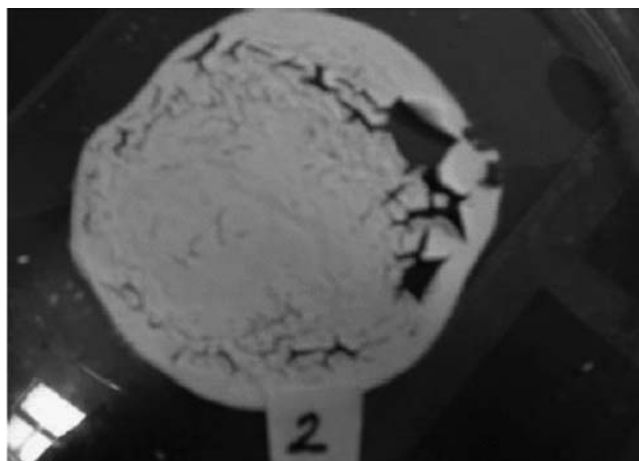
برای تهیه الیاف از آمیخته‌های تهیه شده، مقداری از آمیخته پس از قرار گرفتن داخل سرنگی شیشه‌ای با قطر دهانه خروجی 0.73 mm به وسیله دستگاه خودکار با سرعت 1 mL/h به داخل حمام انعقاد آب تزریق شد. سپس تک رشته تشکیل شده پس از عبور از داخل آب به وسیله پیچنده جمع شد، بدین ترتیب، الیاف مداوم در یک مرحله و بدون اعمال کشش تهیه شد.

شناسایی

ضخامت فیلمهای تهیه شده به وسیله ضخامت سنج با دقت 0.01 mm معین شد. قطر الیاف تهیه شده به وسیله میکروسکوپ نوری مجهر به چشمی مدرج با بزرگنمایی $200\times$ بدست آمد و با استفاده از معادله (۱) به دنیز (وزن 9000 متر از لیف) تبدیل شد:

$$\text{den} = 9 \times 10^5 \rho \pi R^2 \quad (1)$$

که در این معادله ρ چگالی الیاف (مقدار 174 g/cm^3) چگالی پلی آمید ۶



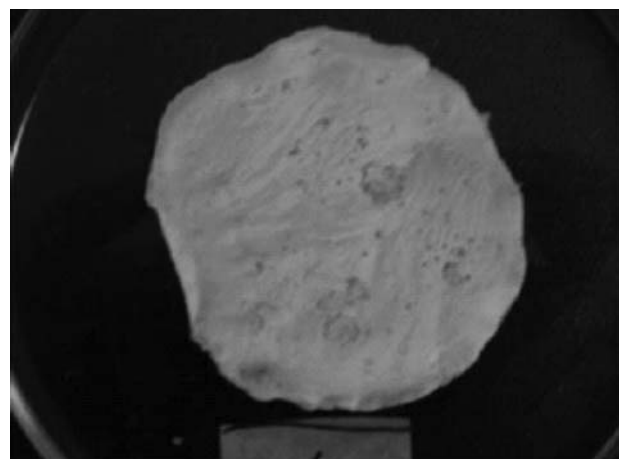
(ج)



(الف)



(د)



(ب)

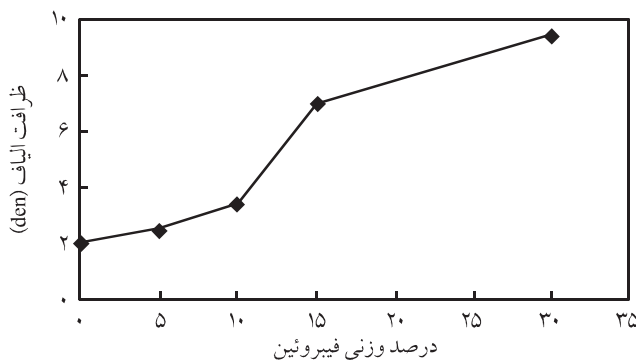
شکل ۱ تصاویر میکروسکوپی نوری فیلمهای تهیه شده از آمیخته پلی آمید ۶ و فیبروئین با نسبت ۱۰:۹۰ پس از بازیابی به وسیله: (الف) آب، (ب) محلول سدیم هیدروکسید ۱۰ درصد، (ج) متانول و (د) استون.

کمتر بودن نقص و وجود نقاط ضعیف در فیلمهای تهیه شده در شرایط انعقاد مختلف نسبت داد. همچنین، مشاهده می شود که با افزایش درصد

قرارگیری زنجیرهای پلیمری پلی آمید و فیبروئین باشد. اما، با توجه به شکل ۱ و ظاهر فیلمهای تهیه شده، استحکام بیشتر آنها را می توان به

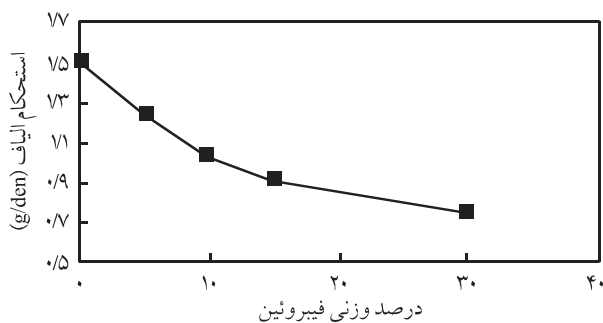
جدول ۱ ضخامت و خواص فیزیکی فیلمهای تهیه شده از آمیخته پلی آمید ۶ و فیبروئین با نسبتهای متفاوت اختلاط پس از بازیابی به وسیله آب و محلول سدیم هیدروکسید (حدود اطمینان ۹۵ درصد گزارش شده است).

۳۰:۷۰		۱۵:۸۵		۱۰:۹۰		۵:۹۵		نسبت پلی آمید - فیبروئین
سدیم هیدروکسید ۱۰٪ ۱/۳±۰/۳۸	آب ۰/۳۷±۰/۰۹	سدیم هیدروکسید ۱۰٪ ۰/۶۲±۰/۳۰	آب ۰/۰۶±۰/۰۱	سدیم هیدروکسید ۱۰٪ ۰/۶۷±۰/۲۶	آب ۰/۰۳±۰/۰۲	سدیم هیدروکسید ۱۰٪ ۰/۷۳±۰/۱۸	آب ۰/۰۸±۰/۰۲	منعقد کننده ضخامت (mm)
۰/۱۳±۰/۱۱	۱/۱۶±۰/۲۳	۰/۰۸±۰/۱۹	۱/۴±۰/۱۶	۰/۸±۰/۲۸	۲/۲۹±۰/۴۲	۰/۹۱±۰/۲۱	۲/۸۴±۰/۵۳	استحکام (MPa)
۶/۷±۲/۷	۱۳/۶±۳/۶۴	۸/۳۹±۳/۳	۲۰/۴±۵/۱	۹/۷±۳/۱	۲۴/۱±۵/۶	۱۷/۴±۷/۲	۲۷/۳±۶/۲	ازدیاد طول نسبی (%)

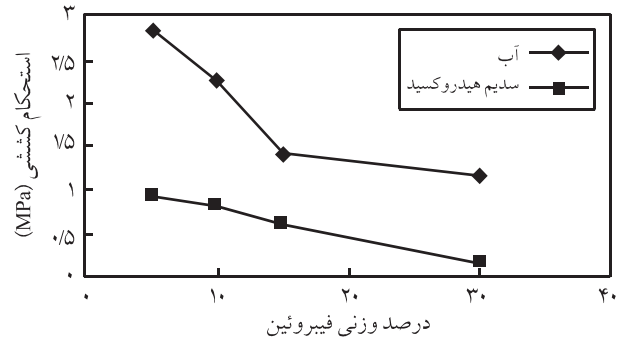


شکل ۴ ظرافت الیاف تهیه شده از آمیخته پلی آمید ۶ و فیبروئین با نسبتهای متفاوت اختلاط.

آمیخته پلی آمید ۶ و فیبروئین طی فرایند تولید الیاف است. شکلهای ۵ و ۶ استحکام و ازدیاد طول تا پارگی الیاف تهیه شده از آمیخته پلی آمید ۶ و فیبروئین را در درصدهای مختلف فیبروئین در آمیخته نشان می دهد. مطابق نتایج این شکلهای با افزایش درصد فیبروئین در آمیخته استحکام الیاف تهیه شده کاهش می یابد. اما، از آمیخته ۳۰ درصد فیبروئین در پلی آمید ۶ می توان الیافی با استحکام نسبتاً مناسب تهیه کرد به طوری که الیاف بدست آمده از این آمیخته نیمی از استحکام الیاف تهیه شده از پلی آمید ۶ به روش تررسی را داراست. بنابراین، با کنترل بیشتر فرایند تولید الیاف و اعمال کشش در مرحله ریسندرگی و پس از ریسندرگی می توان به الیافی با استحکام بیشتر دست یافت. نتایج اندازه گیری ازدیاد طول تا پارگی الیاف تهیه شده نشان می دهد که اگرچه با افزایش درصد فیبروئین در آمیخته، ازدیاد طول تا پارگی الیاف کاهش می یابد. اما، الیاف تهیه شده ازدیاد طول بیشتری دارند و لازم است تا الیاف تهیه شده در عملیات کشش تکمیلی قرار گیرند. عملیات کشش منجر به تولید الیافی با خواص مکانیکی بهتر می شود.



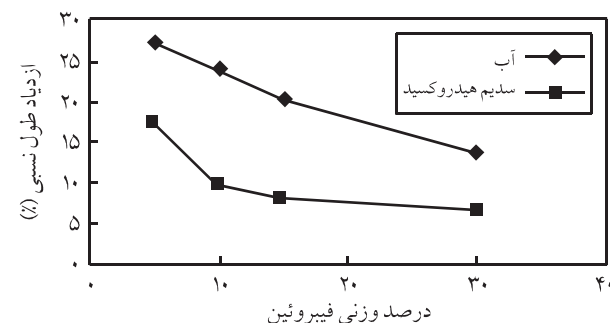
شکل ۵ استحکام کششی الیاف تهیه شده از آمیخته پلی آمید ۶ و فیبروئین با نسبتهای متفاوت اختلاط.



شکل ۲ استحکام کششی فیلمهای تهیه شده از آمیخته پلی آمید ۶ و فیبروئین با نسبتهای متفاوت اختلاط پس از بازیابی به وسیله آب و سدیم هیدروکسید.

فیبروئین در آمیخته خواص مکانیکی فیلمهای تهیه شده تضعیف شده، مقدار استحکام و ازدیاد طول فیلمها کاهش می یابد. بررسیها نشان می دهد که با افزایش درصد فیبروئین در آمیخته با پلی آمید ۶۶ قابلیت تبلور پلی آمید کاهش می یابد. اگرچه ایجاد فاز جدید بلوری با افزایش درصد فیبروئین در آمیخته با پلی آمید ۶۶ گزارش شده است [۴]، اما به نظر می رسد که کاهش استحکام فیلم تهیه شده از آمیخته پلی آمید ۶ و فیبروئین اپریشم با افزایش درصد فیبروئین در آمیخته به کاهش بلورینگی فیلمهای تهیه شده مربوط باشد.

با توجه به نتایج بدست آمده از بررسی خواص فیلمهای تهیه شده، با استفاده از حمام انعقاد آب الیاف تک رشته ای از آمیخته پلی آمید ۶ و فیبروئین در درصدهای متفاوت اختلاط تهیه شد. شکل ۴ ظرافت الیاف تهیه شده را از آمیخته پلی آمید ۶ و فیبروئین نشان می دهد. نتایج این شکل نشان دهنده افزایش نمره الیاف و کاهش ظرافت الیاف تهیه شده است. کاهش ظرافت الیاف تهیه شده با افزایش درصد فیبروئین در آمیخته نشان دهنده کاهش قابلیت ریسندرگی و کاهش کشش پذیری



شکل ۳ ازدیاد طول فیلمهای تهیه شده از آمیخته پلی آمید ۶ و فیبروئین با نسبتهای متفاوت اختلاط پس از بازیابی به وسیله آب و سدیم هیدروکسید.

آمیخته با درصدهای زیاد فیبروئین است. در آمیخته فیبروئین ابریشم و پلی آمید ۶۶ با نسبت اختلاط ۵۰/۵۰ جدایی فاز مشاهده شده است [۴]. بنابراین، به نظر می‌رسد که در درصدهای بیشتر فیبروئین در آمیخته امکان تهیه دوب پ مناسب ریسندگی و تولید الایاف وجود نداشته باشد.

طیف سنجی FTIR

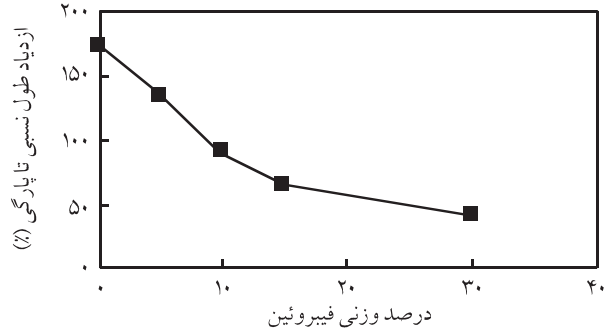
به منظور بررسی نحوه قرارگیری زنجیرهای فیبروئین ابریشم در الایاف، طیفهای FTIR الایاف تهیه شده با طیف FTIR پلی آمید ۶ و فیبروئین خالص ابریشم مقایسه شده است. شکل ۷ طیفهای FTIR الایاف پلی آمید تهیه شده به روش تر ریسی، فیبروئین ابریشم بازیابی شده به وسیله آب و بازیابی شده در اثر تبخیر فرمیک اسید در دمای ۵۰°C و طیفهای الایاف تهیه شده از آمیخته ۵ و ۳۰ درصد فیبروئین را در پلی آمید ۶ نشان می‌دهد.

فیبروئین ابریشم دارای سه نوع ساختار صفحه‌ای β ، فری α و حلقوی است که بوجود آمدن این ساختارها بستگی به روش تهیه و بازیابی فیبروئین دارد. هر کدام از این ساختارها دارای پیوندهایی با جذب مشخص در طیف FTIR هستند. پیکهای جذب در ۷۰۰، ۱۲۶۵، ۱۵۳۰ و 1630 cm^{-1} مربوط به ساختار β فیبروئین ابریشم است، در حالی که پیکهای جذب در ۶۵۰، ۱۲۳۵ و 1540 cm^{-1} مربوط به ساختار α و حلقوی فیبروئین ابریشم است [۱۱، ۱۲].

در شکل ۷ پیکهای جذب در ۶۲۹، ۱۲۳۷، ۱۵۳۵ و 1650 cm^{-1} برای فیبروئین بازیابی شده با آب نشان داده شده است که مربوط به ساختار α فیبروئین ابریشم است، در حالی که فیلم فیبروئین بازیابی شده به وسیله تبخیر فرمیک اسید دارای پیکهای جذبی پهن در ۶۹۷، ۱۲۴۰، ۱۲۴۰ و 1690 cm^{-1} است که وجود ترکیبی از ساختار α و β را برای فیبروئین ابریشم بازیابی نشان می‌دهد.

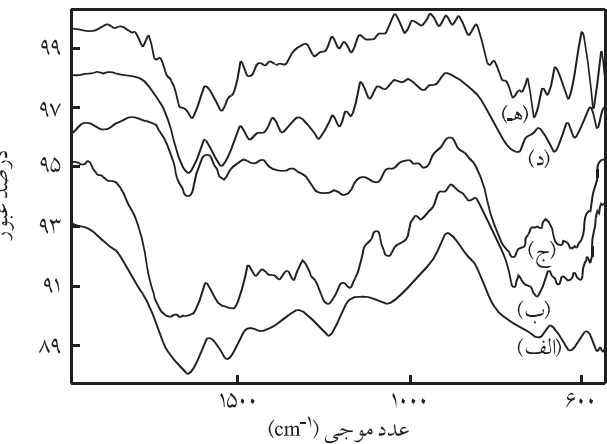
الایاف پلی آمید تهیه شده به روش تر ریسی دارای پیکهای جذب در ۱۳۶۵، ۱۵۳۹، ۱۵۴۰ و 1645 cm^{-1} است [۱۳]. الایاف تهیه شده از آمیخته ۵ درصد فیبروئین ابریشم و پلی آمید ۶ پیکهای جذب بسیار شبیه به الایاف پلی آمید دارد که این موضوع به دلیل کم بودن مقدار فیبروئین در آمیخته است. اما، وجود پیک ضعیف در 640 cm^{-1} می‌تواند نشان دهنده ساختار α و β برای فیبروئین باشد. در الایاف دارای ۳۰ درصد فیبروئین در آمیخته وجود پیکهای جذبی در ۶۴۰، ۱۵۴۰ و 1650 cm^{-1} مربوط به ساختار α فیبروئین ابریشم در آمیخته با پلی آمید ۶ است.

شکل ۸ تصویر SEM سطح مقطع عرضی الایاف تهیه شده را از آمیخته ۷۰ درصد پلی آمید ۶ و ۳۰ درصد فیبروئین ابریشم نشان می‌دهد. الایاف تهیه شده دارای سطح مقطع نزدیک به دایره‌اند. این نوع سطح مقطع در



شکل ۶ از دیاد طول تا پارگی الایاف تهیه شده از آمیخته پلی آمید ۶ و فیبروئین با نسبتها متفاوت اختلاط.

تهیه الایاف از آمیخته بیش از ۳۰ درصد فیبروئین با پلی آمید ۶ امکان‌پذیر نیست. نتایج بررسی سایر پژوهشگران در این زمینه نشان می‌دهد [۴] که فیبروئین ابریشم و پلی آمید ۶۶ هم‌مان متلور می‌شوند و ترکیبی خاص از بره‌همکنش شدید این دو پلیمر ایجاد می‌شود. طیفهای حاصل از پراش پرتو X آمیخته پلی آمید ۶۶ و فیبروئین ابریشم نشان می‌دهد که در غلظتهاهای ۱۰ تا ۳۰ درصد فیبروئین در آمیخته، پلی آمید ۶۶ به سادگی به شکل سه شب (triclinic) متلور می‌شود. اما، با افزایش مقدار فیبروئین به ۵۰ درصد پیک متلور مشخصی در آمیخته مشاهده نشده است. طیفهای پراش پرتو X آمیخته ۷۰ و ۹۰ درصد فیبروئین با پلی آمید و فیبروئین ۱۰ درصد نشان دهنده ترکیب بدون بلور و بی‌شكل است که این موضوع نشان دهنده جلوگیری فیبروئین از متلور شدن پلی آمید در

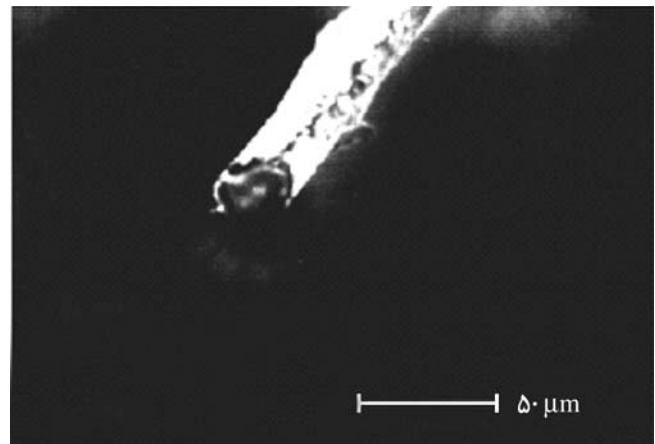


شکل ۷ طیفهای FTIR: (الف) فیبروئین ابریشم بازیابی شده با آب، (ب) فیبروئین ابریشم بازیابی شده در اثر تبخیر فرمیک اسید، (ج) پلی آمید ۶، (د) الایاف آمیخته ۵ درصد فیبروئین در پلی آمید ۶ و (ه) الایاف آمیخته ۳۰ درصد فیبروئین در پلی آمید ۶.

ابريشم در فرميك اسيد، انحلال پذيری پلی آميد ۶ در فرميك اسيد و مشابه بودن ساختار فيبروئين ابريشم و پلی آميد ۶ به نظر مى رسد که فيبروئين ابريشم با توجه به خواص زيسٽي منحصر به فرد بتواند برای بهبود خواص پلی آميد ۶ استفاده شود. يكى از عوامل مؤثر در بهبود كيفيت الياf تهيه شده به روش ترريسي حمام انعقاد است. خواص فيلمهای تهيه شده از آميخته فيبروئين ابريشم و پلی آميد ۶ که به وسیله منعقد کننده‌های مختلف بازيابی شده‌اند، نشان مى دهد که آب مى تواند منعقد کننده‌ای مناسب برای آميخته پلی آميد ۶ و فيبروئين ابريشم باشد. بررسی انجام شده روی آميخته پلی آميد ۶ و فيبروئين ابريشم در نسبت اختلاط ۳۰ تا ۳۰ درصد فيبروئين ابريشم نشان مى دهد که از اين آميخته مى توان در تهيه الياf به روش ترريسي استفاده کرد. الياf تهيه شده دارای سطح مقطع نزديک به دايره‌اند، طيفهای FTIR بدست آمده از اين الياf نشان مى دهد که فيبروئين ابريشم در آميخته به شكل ساختار α وجود دارد. با توجه به خواص مکانيکي الياf بدست آمده اگر چه با افزايش درصد فيبروئين در آميخته خواص مکانيکي الياf ضعيفتر مى شود. اما، مى توان از آميخته فيبروئين ابريشم و پلی آميد ۶ الياf با خواص نسبتاً مناسب بدست آورد. کم شدن استحکام الياf تهيه شده با افزايش درصد فيبروئين در آميخته به دليل کاهش درصد بلورينگي پلی آميد ۶ يا وجود نقص ساختاري در الياf تهيه شده است. الياf تهيه شده از ديد طول تا پارگي زيادي دارند و اين موضوع نشان مى دهد که امكان کشش بيشتر در فرائيند ترريسي يا پس از مرحله ترريسي روی اين الياf وجود دارد. با اعمال کشش بيشتر به الياf تهيه شده از اين آميخته مى توان الياf با خواص مکانيکي بهتر تهيه کرد. با توجه به تشابه ساختاري پلی آميد ۶ و فيبروئين ابريشم امكان برهمکنش بين زنجيره‌های پلی آميد و فيبروئين ابريشم و ايجاد ساختار متبلور جديد در اين آميخته طي فرائيند ترريسي وجود دارد. از آنجا که وجود ساختار متبلور β در فيبروئين ابريشم يا ساختار متبلور جديد در آميخته با پلی آميد ۶ به تهيه الياf با خواص بهتر کمک مى کند، بررسی اثر شرایط انعقاد در حمام ريسندگی بر ساختار الياf تهيه شده جالب توجه به نظر مى رسد.

مراجع

- Altman G., Diaz F., Jakuba C., Calabro T., Horan R., Chen J., Lu H., Richard J. and Kaplan D., Silk Based Biomaterials, *Biomaterials*, **24**, 401-416, 2003.
- Zhang Y., Application of Natural Silk Protein Sericin in Biomaterials, *Biotechnol. Adv.*, **20**, 91-100, 2002.
- Nobomasa H., *Structure of Silk Yarn, Part B: Chemical Structure and Processing of Silk Yarn*, Science, USA, 5, 2000.
- Liu Y., Shao Z., Zhou P. and Chen X., Thermal and Crystalline Behaviour of Silk Fibroin/Nylon 66 Blend Films, *Polymer*, **45**, 7705-7710, 2004.



شكل ۸ تصوير SEM تهيه شده از الياf آميخته ۳۰ درصد فيبروئين در پلی آميد ۶.

الياf تهيه شده نشان دهنده نزديک بودن سرعت خروج حلال از داخل الياf و سرعت نفوذ ضد حلال به داخل الياf طي فرائيند ترريسي است. سطح مقطع ناهموار الياf تهيه شده که در تصوير SEM مشاهده مى شود به دليل صيقلي نبودن روزنه خروجي ريسندگ، تغيير در سرعت ريسندگی و کشش وارد شده به الياf طي ريسندگ است.

نتيجه‌گيري

فيبروئين ابريشم مانند ساير پلимерهای طبيعی به سختی در حاللهای متداول حل مى شود. به همين دليل محلول‌سازی مستقيم فيبروئين ابريشم در فرميك اسيد امكان پذير نیست. برای محلول‌سازی فيبروئين ابريشم ابتدا باید ساختار فشرده و متبلور الياf ابريشم به وسیله حلال شناخته شده ابريشم که متشکل از مخلوطی از كلسيم كلرید، اتانول و آب است شکسته، سپس فيبروئين حل شده در اين حلال بازيابی شود. فيبروئين بازيابی شده به اين روش به راحتی در فرميك اسيد غليظ انحلال پذير است. با توجه به انحلال پذيری فيبروئين بازيابی شده

5. Hirano S., Nakahira T., Nakazawa M. and Kim S.K., The Preparation and Applications of Functionally Fibers from Crab Shell Chitin, *J. Biotechnol.*, **70**, 373-377, 1999.
6. Park K.H., Oh S.Y. and Yoo D.I., Preparation of Silk Fibroin/Chitosan Fiber, *Adv. Chitin Sci.*, **4**, 122-127, 2000.
7. Kweon H.Y., Um C.I. and Park Y.H., Structural and Thermal Characteristics of Antheraea Pernyi Silk Fibroin/Chitosan Blend Film, *Polymer*, **42**, 6651-6656, 2001.
8. Hirano S., Nakahira T., Zhang M., Nakagawa M., Yashikawa M. and Midirikawa T., Wet-spun Blend Biofibers of Cellulose Silk Fibroin and Cellulose-Chitin-Silk Fibroin, *Carbohydr. Polym.*, **47**, 121-124, 2002.
9. Um I.C., Kweon H.Y., Lee K.G., Ihm D.W., Lee J.H. and Park Y.H., Wet Spinning of Silk Polymer, I. Effect of Coagulation Condition on the Morphological Feature of Filament, *Int. J. Biol. Macromol.*, **34**, 89-105, 2004.
10. Karimi M. and Haghigat Kish M., Some Properties of Polyamide 6 Fibers Produced by Wet Spinning, *Iran. J. Polym. Sci. Technol. (in Persian)*, **12**, 81-93, 2002.
11. Um I.C., Kweon H.Y., Park Y.H. and Hudson S., Structural Characteristics and Properties of the Regenerated Silk Fibroin Prepared from Formic Acid, *Int. J. Biol. Macromol.*, **29**, 91-97, 2001.
12. Chen X., Knight D.P., Shao Z. and Vollrath F., Regenerated Bombyx Silk Solutions Studied with Rheometry and FTIR, *Polymer*, **42**, 9969-9974, 2001.
13. Rodriguez F., *Principles of Polymer Systems*, McGraw-Hill, Singapore, 2nd ed., 486, 1983.